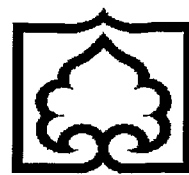


پروردگارا!

ای هستی بخش وجود، مرا بر نعمات بیکرانت توان شکر نیست،
الهی مرا مدد کن تا دانش اند کم نه نردنی باشد برای فزونی
تکبّر و غرور، و نه حلقه ای برای اسارت و نه دست مایه‌ای برای
تجارت، بلکه گامی باشد برای تجلیل از تو و متعالی ساخت خود
و دیگران.

آمین



دانشگاه رتجان

دانشکده علوم - گروه شیمی

پایان نامه

کارشناسی ارشد شیمی فیزیک (M.Sc)

بررسی سینتیک و مکانیسم نوآرایی فریز در محیط اسید متان سولفونیک

۱۳۸۱ / ۱۱ / ۳۰

امیرعلی حسینی گوران آباد

اساتید راهنما:

دکتر بابک کبودیان

دکتر علی اکبر تقی پور

اساتید مشاور:

دکتر حمید عبدالهی

دکتر علی رمضانی

۱۳۸۲

زمستان ۱۳۸۰

شماره: ۷۰۷-دیع
پیوست: ۱۱۱۲۷

صور تجلیسه دفاع پایان نامه تحصیلی دوره کارشناسی ارشد

با تأییدات خداوند متعال و با استعانت از حضرت ولی عصر(عج) جلسه دفاع از پایان نامه کارشناسی ارشد خانم/آقای امیرعلی حسینی گوران آباد رشته شیمی گرایش شیمی فیزیک تحت عنوان بررسی سنتیک و مکانیسم نوآرایی فریز در محیط اسید متان سولفونیک

که در تاریخ ۸۰/۱۱/۲۹ با حضور هیأت محترم داوران در دانشگاه زنجان برگزار گردید به شرح زیر است: قبول (با درجه: عالیامتیاز: ۱۷/۲۰) دفاع مجدد مردود

حکم داده شده

۱- عالی (۱۸-۲۰)

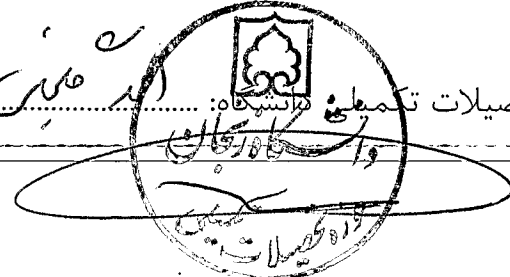
۲- بسیار خوب (۱۶-۱۷/۹۹)

۳- خوب (۱۴-۱۵/۹۹)

۴- قابل قبول (۱۲-۱۳/۹۹)

عضو هیأت داوران	نام و نام خانوادگی	رتبه علمی	امضاء
۱- استاد راهنمای	آقای دکتر علی اکبر تقی پور	استاد دیار	
۲- استاد مشاور	آقای دکتر بابک کبودین	استاد دیار	
۳- نماینده تحصیلات تكمیلی	آقای دکتر علی رمضانی	دانشیار	
۴- استاد ممتحن	آقای دکتر حمید عبدالهی	استاد دیار	
۵- استاد ممتحن	آقای دکتر احمد گلچین	دانشیار	
	آقای دکتر اسماعیل شمس	استاد دیار	
	آقای دکتر حسن حسینی منفرد	استاد دیار	

مدیر تحصیلات تکمیلی دانشگاه:
.....



تقدیم به :

وطن

آنجایی که چشم گشودم، در خاکش ریشه دوانیدم و بدانجای افتخار می ورم.

روح پاک پدر بزرگوارم

که به من غرورو همت آموخت و هم او بود که نیاز به آموختن را در من بو جود آورد.

قلب پر مهر و با صفا و دستان زحمتکش و پر تلاش مادر عزیز و فرهیخته ام

که عشق را در رگهایم جاری ساخت، درس محبت و مهربانی به من آموخت، آموزگار اخلاق ،
شکیبایی ، صبر و قناعت برایم بود، وجود پر مهرو پر نورش حیات بخش جان، امید بخش
دل و روشنایی ده زندگی من است.

پرادران بزرگوار و خواهران عزیزم و خانواده های محترمشان

که وجود سبزشان بزرگترین سرمایه و دعای خیر شان مطمئن ترین پشتونه ام و راهنمایی و
تشویق آنها در مراحل مختلف زندگی رهگشایی مسیر زندگیم بوده و افتخار وجودشان برایم
از هر مدرکی بالاتر و ارزنده تر است.

تشکرو قدردانی:

سپاس ایزد یکتا را که جهان براساس علم و عدل و حکمت آفرید، و به بشر آموخت که نیل به سعادت تنها در گرو دانش و تفکر و تعقل است، و او را حمد و سپاس فراوان که توفیق کسب قطره ای از دریای بیکران علم و دانش بر من عطا فرمود تا برگ سبزی به دوستداران علم و دانش هدیه نمایم.

اکنون که این تحقیق به پایان رسیده است، بر خود لازم می دانم از اساتید بزرگوار جناب آقای دکتر بابک کبودین و جناب آقای دکتر علی اکبر تقی پور، که راهنمایی این پایان نامه را بر عهده داشتند، و از محضر ایشان بهره های علمی فراوان بردم، کمال تشکر و امتنان خود را ابراز دارم. از جناب آقای دکتر علی رمضانی، استاد مشاور این پایان نامه که با رهنمودهای سودمند خود مشکلات عملی این پایان نامه را از میان برداشتند، بی نهایت متشکرم. از جناب آقای دکتر حمید عبدالهی، استاد مشاور دیگر این پایان نامه تشکر میکنم. از جناب آقای دکتر اسماعیل شمس و جناب آقای دکتر حسن حسینی منفرد، اساتید ممتاز این پایان نامه که زحمت مطالعه آنرا تقبل نمودند، تشکر میکنم. از تمامی اساتید محترم گروه شیمی دانشگاه زنجان و مرکز تحصیلات تکمیلی در علوم پایه زنجان، کمال تشکر را دارم. از کلیه دوستان عزیزی که بنحوی در انجام این تحقیق مرا یاری داده‌اند، (بخصوص دوستان عزیزم آقایان، رحمان نظری - نادر نوشیرانزاده - شهرام کتوک و سرکار خانم فاطمه مصدر الامور) تشکر و قدردانی می‌کنم. در نهایت از همه بیشتر مدیون تمامی اعضاء خانواده‌ام، بخصوص مادر فرزانه‌ام هستم، که در تمام مدت تحصیل از مشایعت و راهنمایی ایشان بر خوردار بوده و لطفشان شامل حالم بوده است، سپاسگزارم و تا ابد خاکسار این همه بزرگواریشان خواهم بود. از برادر زحمتکش و فرزانه‌ام جمشید، که همواره بزرگترین دوست و حامی من بوده و برادر فرهیخته‌ام علی، که انگیزه خواستن را در من پروراند، کمال تشکر و قدردانی خود را ابراز میدارم.

چکیده

بررسی سینتیک و مکانیسم نوآرایی فریز در محیط

اسید متان سولفونیک

توسط:

امیرعلی حسینی گوران آباد

در این تحقیق به بررسی بیشتری در مورد سینتیک و مکانیسم نوآرایی فریز در محیط اسید متان سولفونیک می‌پردازیم. سرعت‌های نوآرایی فریز یک سری از مشتق‌های پاراتولیل بنزووات در محیط اسید متان سولفونیک مورد بررسی قرار می‌گیرد. از مقادیر سرعت اطلاعات مکانیسمی زیادی به دست می‌آید. از درجه واکنش در این مورد می‌توان به تعداد مولکول‌هایی که در مرحله تعیین کننده سرعت شرکت می‌کنند، پی برد. اثرات درجه حرارت بر روی سرعت واکنش‌های شیمیایی به وسیله معادله آرنیوس و معادله آیرینگ مورد بررسی قرار می‌گیرد و از روی معادله‌های فوق و داده‌های تجربی مقادیر انرژی فعال‌سازی، آنتالپی فعال‌سازی، آنتروبی فعال‌سازی و انرژی آزاد

فعال‌سازی محاسبه می‌شود. از رسم $\log \left(\frac{k_x}{k_H} \right)$ بر حسب σ^+ ، ثابت واکنش (ρ) را به دست می‌آوریم که معیاری از حساسیت مرکز واکنش به اثرات الکترونی است. با توجه به نتایج فوق مکانیسمی پیشنهاد می‌شود که نتایج این تحقیق نشان می‌دهد که این واکنش از مکانیسم بین مولکولی تبعیت می‌کند.

لغات کلیدی:

نوآرایی فریز، اسید متان سولفونیک، معادله آرنیوس، معادله آیرینگ، معادله هامت، مرکز واکنش، مکانیسم بین مولکولی.

فهرست مطالب

عنوان	صفحه
خلاصه فارسی	I
فهرست جداول	V
فهرست نمودارها	VI
فصل اول: مقدمه	۱
۱-۱ نوآرایی فریز	۲
۱-۲ مکانیسم نوآرایی فریز	۳
۱-۳ سینتیک شیمیایی	۱۱
۱-۳-۱ مروری بر مفاهیم سینتیک شیمیایی	۱۱
۱-۴ عمومی‌ترین روش‌ها برای اندازه‌گیری سرعت واکنش‌ها	۱۲
۱-۴-۱ روش‌های نمونه‌برداری (متوقف کردن واکنش) و اندازه‌گیری آن	۱۲
۱-۴-۱-۱ سنجش حجمی	۱۳
۱-۴-۱-۲ کروماتوگرافی گازی	۱۳
۱-۴-۱-۳ طیفسنجی	۱۳
۱-۴-۱-۴ روش‌های پیوسته	۱۴
۱-۴-۱-۵ روش رسانایی الکتریکی	۱۴
۱-۴-۱-۶ روش چرخش نوری	۱۴
۱-۴-۱-۷ روش طیفسنجی نوری	۱۴
۱-۴-۱-۸ روش انسپاٹسنجی	۱۴

۵- طیفسنجدی

۱۸

۲۰

۲۱

۲۱

۲۱

۲۲

۲۲

۲۳

۲۴

۲۴

۲۷

۲۸

۲۸

۳۰

۳۰

۳۸

۳۸

۴۰

۴۳

۴۴

۴۵

فصل دوم: بخش تجربی

۱-۲ دستگاهها و مواد به کار رفته در این پژوهش

۲-۲ روش کار عمومی برای سنتز و خالص‌سازی مواد اولیه

۱-۲-۲ روش تهیه مشتق‌های مختلف بنزوئیل کلراید

۲-۲-۲ روش تهیه مشتق‌های مختلف پاراتولیل بنزووات و خالص‌سازی آن

۳-۲ روش کار عمومی برای سنتز، استخراج و خالص‌سازی محصول‌های نوآرایی فریز

۴-۲ تعیین ناحیه طول موج برای بررسی سینتیکی واکنش نوآرایی فریز

۵-۲ محاسبه ضریب جذب خاموشی محصول‌های نوآرایی فریز

۶-۲ نوآرایی فریز در محیط اسید متان سولفونیک در دماهای 100°C , 90°C , 80°C , 70°C

۷-۲ تعیین درجه واکنش نوآرایی فریز در محیط اسید متان سولفونیک

فصل سوم: بحث و نتیجه‌گیری

۱-۳ محاسبه ثابت سرعت واکنش نوآرایی فریز در دماهای مختلف

۲-۳ نمودارهای مربوط به محاسبه ثابت سرعت نوآرایی فریز با استخلاف‌های گوناگون در چهار دمای 100°C , 90°C , 80°C , 70°C

۳-۳ استفاده از ثابت‌های سرعت به دست آمده برای محاسبه انرژی فعال‌سازی، آنتالپی فعال‌سازی، آنتروپی فعال‌سازی و انرژی آزاد فعال‌سازی ($\Delta G^{\#}, \Delta S^{\#}, \Delta H^{\#}, E_a$)

۱-۳-۳ ۱-۳-۳ محاسبه انرژی فعال‌سازی واکنش نوآرایی فریز در محیط اسید متان سولفونیک (E_a)

۲-۳-۳ ۲-۳-۳ محاسبه آنتالپی و آنتروپی فعال‌سازی ($\Delta G^{\#}, \Delta H^{\#}$)

۳-۳-۳ ۳-۳-۳ محاسبه انرژی آزاد فعال‌سازی ($\Delta G^{\#}$)

۴-۳ ۴-۳ دمای ایزوسینتیکی واکنش (IKR)

۵-۳ ۵-۳ محاسبه ثابت واکنش (ρ) با استفاده از تابع هامت

۵۰	۶-۳ بحث و نتیجه‌گیری
۵۰	۱-۶-۳ انرژی آزاد فعال‌سازی (E_a)
۵۱	۲-۶-۳ آنتالپی فعال‌سازی و آنتروبی فعال‌سازی ($\Delta S^\#$, $\Delta H^\#$)
۵۱	۳-۶-۳ انرژی آزاد فعال‌سازی ($\Delta G^\#$)
۵۲	۴-۶-۳ ثابت واکنش (ρ)
۵۲	۷-۳ جمع‌بندی
۵۴	۸-۳ مکانیسم پیشنهادی
۵۴	۹-۳ پیشنهادها
۵۵	ضمیمه
۶۳	مراجع
۶۶	خلاصه انگلیسی

۲۵	جدول ۱-۲ داده‌های مربوط به نمودار (۱-۲)
۲۹	جدول ۱-۳ ثابت‌های سرعت و ضرایب همبستگی استرهای مختلف در دماهای $^{\circ}\text{C}$ ۱۰۰، ۸۰، ۹۰
۳۸	جدول ۲-۳ داده‌های مربوط به محاسبه انرژی فعال‌سازی برای استخلاف H
۴۰	جدول ۳-۳ جدول انرژی فعال‌سازی برای استخلاف‌های مختلف
۴۱	جدول ۴-۳ داده‌های مربوط به محاسبه $(\Delta S^{\#}, \Delta H^{\#})$ برای استخلاف H
۴۳	جدول ۳-۵ داده‌های مربوط به محاسبه $(\Delta S^{\#}, \Delta H^{\#})$ برای استخلاف‌های H ، $p\text{-F}$ و $p\text{-CH}_3$
۴۴	جدول ۳-۶ داده‌های مربوط به محاسبه $(\Delta G^{\#})$ برای استخلاف‌های H ، $p\text{-F}$ و $P\text{-CH}_3$
۵۰	جدول ۷-۳ داده‌های مربوط به محاسبه ثابت واکنش در چهار دمای 100°C ، 90°C ، 80°C و 70°C

۵

نمودار ۲-۱ نمودار جذب - زمان استر پاراتولیل بنزووات در مجاورت $\text{CH}_3\text{SO}_3\text{H}$ ، در
دماهی 90°C

۳۰

نمودار ۲-۲ نمودار ۱-۳ برحسب زمان برای استر مشتق H در دماهی 70°C
برحسب زمان برای استر مشتق H در دماهی 90°C

۳۰

نمودار ۲-۳ نمودار ۱-۳ برحسب زمان برای استر مشتق H در دماهی 70°C
برحسب زمان برای استر مشتق H در دماهی 80°C

۳۱

نمودار ۳-۳ نمودار ۲-۳ برحسب زمان برای استر مشتق H در دماهی 80°C
برحسب زمان برای استر مشتق H در دماهی 90°C

۳۱

نمودار ۳-۴ نمودار ۳-۳ برحسب زمان برای استر مشتق H در دماهی 90°C
برحسب زمان برای استر مشتق H در دماهی 100°C

۳۲

نمودار ۳-۵ نمودار ۳-۴ برحسب زمان برای استر مشتق p-F در دماهی 70°C
برحسب زمان برای استر مشتق p-F در دماهی 90°C

۳۲

نمودار ۳-۶ نمودار ۳-۵ برحسب زمان برای استر مشتق p-F در دماهی 70°C
برحسب زمان برای استر مشتق p-F در دماهی 80°C

۳۳

نمودار ۳-۷ نمودار ۳-۶ برحسب زمان برای استر مشتق p-F در دماهی 90°C
برحسب زمان برای استر مشتق p-F در دماهی 100°C

۳۳

نمودار ۳-۸ نمودار ۳-۷ برحسب زمان برای استر مشتق p-F در دماهی 90°C
برحسب زمان برای استر مشتق p-F در دماهی 100°C

- نمودار ۹-۳ نمودار
برحسب زمان برای استر مشتق p -Cl در دمای 70°C
- $$\ln \left(\frac{x_0}{x_0 - (A/\varepsilon b)} \right)$$
- نمودار ۱۰-۳ نمودار
برحسب زمان برای استر مشتق p -Cl در دمای 80°C
- $$\ln \left(\frac{x_0}{x_0 - (A/\varepsilon b)} \right)$$
- نمودار ۱۱-۳ نمودار
برحسب زمان برای استر مشتق p -Cl در دمای 90°C
- $$\ln \left(\frac{x_0}{x_0 - (A/\varepsilon b)} \right)$$
- نمودار ۱۲-۳ نمودار
برحسب زمان برای استر مشتق p -Cl در دمای 100°C
- $$\ln \left(\frac{x_0}{x_0 - (A/\varepsilon b)} \right)$$
- نمودار ۱۳-۳ نمودار
برحسب زمان برای استر مشتق $p\text{-CH}_3$ در دمای 70°C
- $$\ln \left(\frac{x_0}{x_0 - (A/\varepsilon b)} \right)$$
- نمودار ۱۴-۳ نمودار
برحسب زمان برای استر مشتق $p\text{-CH}_3$ در دمای 80°C
- $$\ln \left(\frac{x_0}{x_0 - (A/\varepsilon b)} \right)$$
- نمودار ۱۵-۳ نمودار
برحسب زمان برای استر مشتق $p\text{-CH}_3$ در دمای 90°C
- $$\ln \left(\frac{x_0}{x_0 - (A/\varepsilon b)} \right)$$
- نمودار ۱۶-۳ نمودار
برحسب زمان برای استر مشتق $p\text{-CH}_3$ در دمای 100°C
- $$\ln \left(\frac{x_0}{x_0 - (A/\varepsilon b)} \right)$$
- نمودار ۱۷-۳ نمودار
برحسب $\ln k$ برای استر مشتق H در دماهای $70, 80, 90, 100^{\circ}\text{C}$
- $$\frac{1}{T}$$

۳۹	نمودار ۱۸-۳ نمودار $\ln k$ بر حسب $\frac{1}{T}$ برای استر مشتق p -F در دماهای $^{\circ}\text{C}$	$70, 80, 90, 100$
۴۰	نمودار ۱۹-۳ نمودار $\ln k$ بر حسب $\frac{1}{T}$ برای استر مشتق p -Cl در دماهای $^{\circ}\text{C}$	$70, 80, 90, 100$
۴۱	نمودار ۲۰-۳ نمودار $\ln k$ بر حسب $\frac{1}{T}$ برای استر مشتق p -CH _۳ در دماهای $^{\circ}\text{C}$	$70, 80, 90, 100$
۴۲	نمودار ۲۱-۳ نمودار $\ln \left(\frac{k}{T} \right)$ بر حسب $\frac{1}{T}$ برای استر مشتق H در دماهای $^{\circ}\text{C}$	$70, 80, 90, 100$
۴۳	نمودار ۲۲-۳ نمودار $\ln \left(\frac{k}{T} \right)$ بر حسب $\frac{1}{T}$ برای استر مشتق p -F در دماهای $^{\circ}\text{C}$	$70, 80, 90, 100$
۴۴	نمودار ۲۳-۳ نمودار $\ln \left(\frac{k}{T} \right)$ بر حسب $\frac{1}{T}$ برای استر مشتق p -Cl در دماهای $^{\circ}\text{C}$	$70, 80, 90, 100$
۴۵	نمودار ۲۴-۳ نمودار $\ln \left(\frac{k}{T} \right)$ بر حسب $\frac{1}{T}$ برای استر مشتق p -CH _۳ در دماهای $^{\circ}\text{C}$	$70, 80, 90, 100$
۴۶	نمودار ۲۵-۳ نمودار $\Delta S^\#$ بر حسب $\Delta H^\#$ برای استخلافهای H	
۴۷	نمودار ۲۶-۳ نمودار $\log \left(\frac{k_x}{K_H} \right)$ بر حسب σ_x^+ در دمای 70°C	
۴۸	نمودار ۲۷-۳ نمودار $\log \left(\frac{k_x}{K_H} \right)$ بر حسب σ_x^+ در دمای 80°C	
۴۹	نمودار ۲۸-۳ نمودار $\log \left(\frac{k_x}{K_H} \right)$ بر حسب σ_x^+ در دمای 80°C	
۵۰	نمودار ۲۹-۳ نمودار $\log \left(\frac{k_x}{K_H} \right)$ بر حسب σ_x^+ در دمای 90°C	
۵۱	نمودار ۳۰-۳ نمودار $\log \left(\frac{k_x}{K_H} \right)$ بر حسب σ_x^+ در دمای 90°C	

۴۸

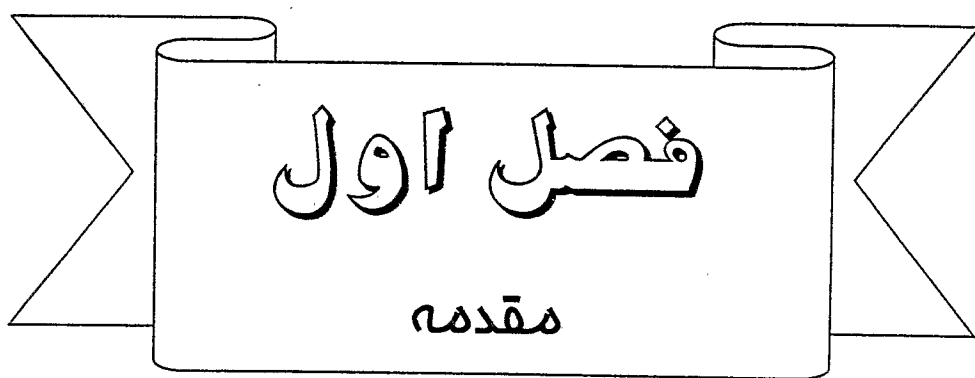
نمودار ۳-۳۱ نمودار $\log\left(\frac{k_x}{K_H}\right)$ بر حسب σ_x^+ در دمای $90^\circ C$

۴۹

نمودار ۳-۳۲ نمودار $\log\left(\frac{k_x}{K_H}\right)$ بر حسب σ_x^+ در دمای $100^\circ C$

۴۹

نمودار ۳-۳۳ نمودار $\log\left(\frac{k_x}{K_H}\right)$ بر حسب σ_x^+ در دمای $100^\circ C$



از انتشار نیز
گذشت